

## Preparation of Nano Vancomycin antibiotic and Evaluation of inhibitory efficiency against *S. aureus* locally isolated

تحضير المضاد فانكومايسين النانوي وتقدير كفاءته التثبيطية ضد بكتيريا *Staphylococcus aureus* المعزولة محلياً.

\* نيران عدنان عبدالكاظم الغانمي

جامعة كربلاء / كلية العلوم

\* البحث مستمد من رسالة الماجستير للباحث الأول.

### المستخلص:

تم تحضير مركب نانوي هجين Mg/Al-VAN-LDH باستخدام طريقة التبادل الأيوني المباشر بين المضاد فانكومايسين Vancomycin antibiotic (VAN) و طبقات ثنائية الهيدروكسيد (LDH) layered double hydroxide . تم تشخيص المضاد فانكومايسين النانوي الجديد ، إذ كشفت مطيافية الأشعة تحت الحمراء عن ظهور مجاميع جديدة في طيف المضاد Mg/Al-VAN-LDH مما يشير إلى تكوين مضاد فانكومايسين جديد كما أوضحت تقنية حيود الأشعة السينية (XRD) ظهور مستويات حيود جديدة في طيف المضاد Mg/Al-VAN-LDH مقارنة بطيف حيود الطبقات ثنائية الهيدروكسيد (Ray Diffraction) . ثبتت صورتي مجهر القوة الذري (AFM)Atomic Force Microscope ، أثبتت صورتي مجهر القوة الذري (AFM)Atomic Force Microscope ، أثبتت صورتي مجهر القوة الذري (AFM)Atomic Force Microscope ، كما تم دراسة الفعالية التثبيطية للمضاد النانوي المحضر ضد عزلات بكتيريا *S. aureus*.

الكلمات المفتاحية : النانوي الهجين ، طبقات ثنائية الهيدروكسيد ، المضاد فانكومايسين .

### Abstract :

A nano hybrid vancomycin antibiotic Mg/Al-VAN-LDH was prepared by using direct ion exchange method between vancomycin antibiotic (VAN) and layered double hydroxide (LDH) . The new nano vancomycin antibiotic was identified. FT-IR spectroscopy revealed the appearance of new groups in the Mg/Al-VAN-LDH spectrum which indicates the formation of new compound. The X-Ray Diffraction (XRD) spectrum revealed the appearance of new diffraction planes in the nano hybrid vancomycin antibiotics spectrum compare with the spectrum of layered double hydroxide . The two and three dimensional image of the studied compound in atomic force microscope confirmed the formation of new vancomycin antibiotic with nanodimensions. The inhibitory activity of the prepared nanoantibiotic has been studied against *S. aureus* isolates .

**Key words :** Nano hybrid , Layered double hydroxide , Vancomycin antibiotic

### المقدمة :

يتبع المضاد Vancomycin الى مجموعة مضادات glycopeptides وقد عزل لأول مرة عام 1957 من البكتيريا [1] Streptomyces orientalis وتم ادخاله الى الاستخدام السريري منذ ما يقرب من 50 سنة لمعالجة الإصابة المتسيبة بفعل بكتيريا *S. aureus* المقاومة للمتشيلين [2].

على الرغم من تنوع المضادات الحيوية المستخدمة في علاج بكتيريا *S. aureus* الحساسة الا ان علاج النوع المقاوم منها MRSA يكاد يقتصر على استخدام انواع قليلة ومحدودة من هذه المضادات ، يتصدرها المضاد Vancomycin الذي يتبع المضادات glycopeptides والذي يتميز بكافنته التثبيطية العالية ضد بعض أنواع البكتيريا الموجبة لصبغة غرام فضلاً عن كونه يمثل الخط الفاعلي الأول ضد الإصابة المتسيبة بفعل بكتيريا MRSA [3] و [4] و [5].

يتصف الفانكومايسين بكونه ذاتي بالماء ويبلغ وزنه الجزيئي 1485 ويتكون الصيغة الجزيئية  $C_{66}H_{75}Cl_2N_9O_{24}$ . كما انه ضعيف الامتصاص من قبل القناة المغوية ( GI tract ) وذلك بعد التجريع الفموي ( Oral administration ) [6] و [7].  
يبيدي الفانكومايسين فعالية تثبيطية جيدة ضد البكتيريا الموجبة لصبغة غرام الهوائية الكروية منها والعصوية مثل *Enterococci* و *Streptococci* و *Staphylococci* و *Pneumococci* وبكتيريا *Corynebacterium* و *Listeria* و *Corynebacterium* و *Enterococci* و *Streptococci* و *Staphylococci* فضلاً عن البكتيريا الموجبة لصبغة غرام الفموية اللاهوائية. كما يعد هذا المضاد فعالاً ضد بكتيريا *Bacillus spp.* و *Clostridia* و *Clostridium difficile* و *Streptococcus pneumoniae* و *Corynebacterium jeikim* وبكتيريا *S. epidermidis* و *S. aureus* المقاومة للمتشيلين ( MRSE ) وبكتيريا *MRSA* المقاومة للبنسلين وبكتيريا *Corynebacterium jeikim*.

في حين تعد بكتيريا *Leuconostoc* و *Pediococcus* و *Lactobacillus* مقاومة للفانكومايسين [8].

اكتسبت التقنية النانوية ( Nanotechnology ) أهمية بالغة في الطب وتطور تطبيقاتها وتتسارع بشكل ملفت للنظر في غضون عقود قليلة من الزمن . ويهدف الطب النانوي ( Nanomedicine ) إلى تحسير التقنية النانوية بما يصب في تحسين صحة الأنسان وتحقيق رفاهيته ، إذ أن الدافع النانوية ( Nanoparticles ) التي تتراوح أبعادها بين ( 1 – 100 ) نانومتر قد تم تصميمها لتكون مهيأة للأستخدام لأغراض التشخيص ( Diagnosis ) والعلاج ( Therapeutics ) وكأدوات طبية حيوية ( Biomedical tools ) في المجال البحثي [9].

وبالنظر إلى الأهمية الكبيرة للمضاد فانكومايسين فقد هدفت هذه الدراسة إلى تحضير مضاد نانوي هجين من هذا المضاد وتقديم كفاءته التثبيطية ضد بكتيريا *S. aureus* المعزولة من أماكن مختلفة من أجسام المرضى .

### **المواد وطرق العمل :**

تم تحضير المضاد النانوي الهجين من طبقات المغنيسيوم / الالمنيوم ثنائية الهيدروكسيد ( Mg/Al-NO<sub>3</sub>LDH ) مع المضاد فانكومايسين بطريقة التبادل الايوني المباشر حيث اتبعت الطريقة الموصوفة من قبل [10] مع بعض التحوير في تحضير المضاد النانوي الهجين وذلك بإضافة 50 مل من المضاد فانكومايسين المحضر اعلاه إلى محلول الطبقات ثنائية الهيدروكسيد ( ) الناتج عن اذابة 1 غم من راسب الطبقات ثنائية الهيدروكسيد في 50 مل من الماء المقطر المزال منه الايونات ( ) وحرك المزيج مغناطيسيًا بدرجة حرارة الغرفة لمدة ساعتين ثم وضع المزيج في الحاضنة الهزازة عند درجة حرارة 37 ° م لمندة 18 ساعة ثم وضع في الحاضنة عند درجة حرارة 40 ° م لمندة 24 ساعة اعقبه فصل الراسب بوساطة جهاز الطرد المركزي بسرعة 5000 دورة / دقيقة ومن ثم غسل بالماء المقطر المزال منه الايونات مرات عدة وبعدها جفف الراسب عند درجة 50 درجة مئوية وتم طحنة بالهالون الخزفي واخيراً خزنـه في الثلاجة .

تم تشخيص المضاد النانوي الهجين Mg/Al-VAN-LDH بالطريقـة الطيفـية وفحوصـات مجهر القوة الذريـة ( Atomic Force Microscope , AFM ) وكما يأتي :

#### **1- التشخيص بأستخدام طيف الأشعة تحت الحمراء ( FT-IR )**

تم عمل قرص من المضاد فانكومايسين مع بروميد البوتاسيوم ( KBr ) بعد طحنهما بصورة جيدة وتم قياس طيف الأشعة تحت الحمراء في مدى من الاعداد الموجية ( 4000-400 ) سم<sup>-1</sup> .

#### **2- التشخيص بأستخدام طيف حيود الأشعة السينية ( X-Ray Diffraction , XRD )**

تم تشخيص الخامض النانوي الهجين Mg/Al-VAN-LDH باستخدام طيف حيود الأشعة السينية والذي يوضح الاختلاف في سماك الطبقة قبل عملية الاقحام و بعدها للمضاد فانكومايسين النانوي الهجين وذلك باستخـدام قانون براك  $n\lambda = 2d\sin\Theta$  لاستخراج قيمة سماك الطبقة ( d ) قبل عملية الاقحام وبعدها .

#### **3- الفحـص باستخدـام مجـهر القـوة الذـرـية ( AFM )**

استخدم مجـهر القـوة الذـرـية في فـحـص المـضـاد النـانـوي الـهـجـين Mg/Al-VAN-LDH و قـيـاس أـقـطـار و حـجـوم و تـجـمـعـات الجـزـيـئـات النـانـويـة ، إذ تم إـرـسـال النـموـذـج إـلـى دـ. عـبـدـالـكـرـيمـ السـامـرـائـي / كـلـيـةـ الـعـلـومـ / جـامـعـةـ بـغـادـ لـغـرضـ فـحـصـهـ .

**أختبار الفعالية التثبيطية للمضاد فانكومايسن النانوي الهجين Mg/Al-VAN-LDH والمضاد فانكومايسين الحر :**  
تم اختبار الفعالية التثبيطية للمضاد النانوي الهجين ( Mg/Al-VAN-LDH ) والمضاد فانكومايسين الحر ( VAN-Free ) ضد العزلـاتـ المتـحـصـلـ عـلـيـهـاـ فيـ هـذـهـ الـدـرـاسـةـ وـ بـيـتـراـكـيزـ ( 0.005, 0.01, 0.1, 0.25, 0.5, 1, 3 ) مـلـغـ / مـلـ علىـ وـقـ طـرـيـقـةـ الـاـنـتـشـارـ فيـ الـاـكـارـ بـوـسـاطـةـ الـحـفـرـ [11] .

#### **العـزلـاتـ الـبـكـتـيرـيـةـ الـمـسـتـخـدـمـةـ فـيـ الـدـرـاسـةـ :**

تم الحصول على 18 عزلة من بكتيريا *S. aureus* معزولة من أماكن مختلفة من أجسام المرضى و مشخصة بتقنية PCR في دراسة سابقة [12] تضمنت 9 عزلـاتـ مقـاـوـمةـ لـمـيـسـلـينـ MRSAـ فيـ حـينـ كـانـتـ التـسـعـ مـتـبـقـيـةـ حـسـاسـةـ . وـ قـدـ أـجـرـيـتـ هـذـهـ الـدـرـاسـةـ فيـ قـسـمـ عـلـومـ الـحـيـاةـ - كـلـيـةـ الـعـلـومـ / جـامـعـةـ كـرـبـلـاءـ فـيـ الـفـتـرـةـ مـنـ 15/1/2016ـ وـ لـغاـيـةـ 15/4/2016ـ .

#### **النتائج و المناقشة :**

**تشخيص المضاد فانكومايسين النانوي الهجين**

#### **1- التشخيص باستخدـام طـيفـ الأـشـعـةـ تـحـتـ الـحـمـراءـ**

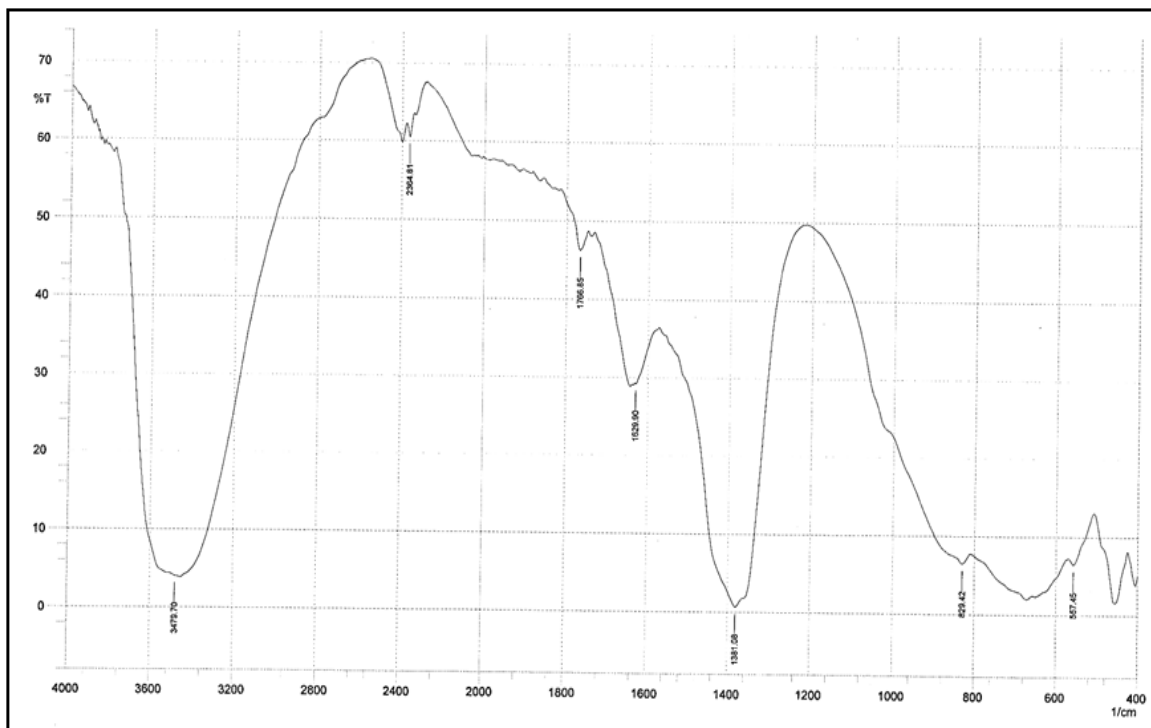
#### **أـ طـيفـ الـأشـعـةـ تـحـتـ الـحـمـراءـ لـطـبـقـاتـ ثـنـائـيـةـ الـهـيـدـرـوكـسـيدـ**

يتضح من الشكل 1 ان طبقات المغنيسيوم / الالمنيوم ثنائية الهيدروكسيد أظهرت العديد من الحزم المميزة عند ترددات معينة ، فالحزمة عند 3527 سـمـ<sup>-1</sup> تعود إلى اهتزاز المطرابطة ( O-H ) ، وهي حزمة مستعرضة لوجود تداخل من انواع مختلفة من الهيدروكسيل مثل هيدروكسيل الطبقة الثنائية و هيدروكسيل الماء الممتز فيزيائيا [13] و [14] . اما الحزمة المميزة عند 1383 سـمـ<sup>-1</sup> فتعزى إلى مجموعة النترات ( NO<sub>3</sub> ) الموجودة بين الطبقات [15] بينما تعود الحزم الواقعة بين 600-400 سـمـ<sup>-1</sup> إلى اهتزاز رابطة Mg-O و Al-O [16] .

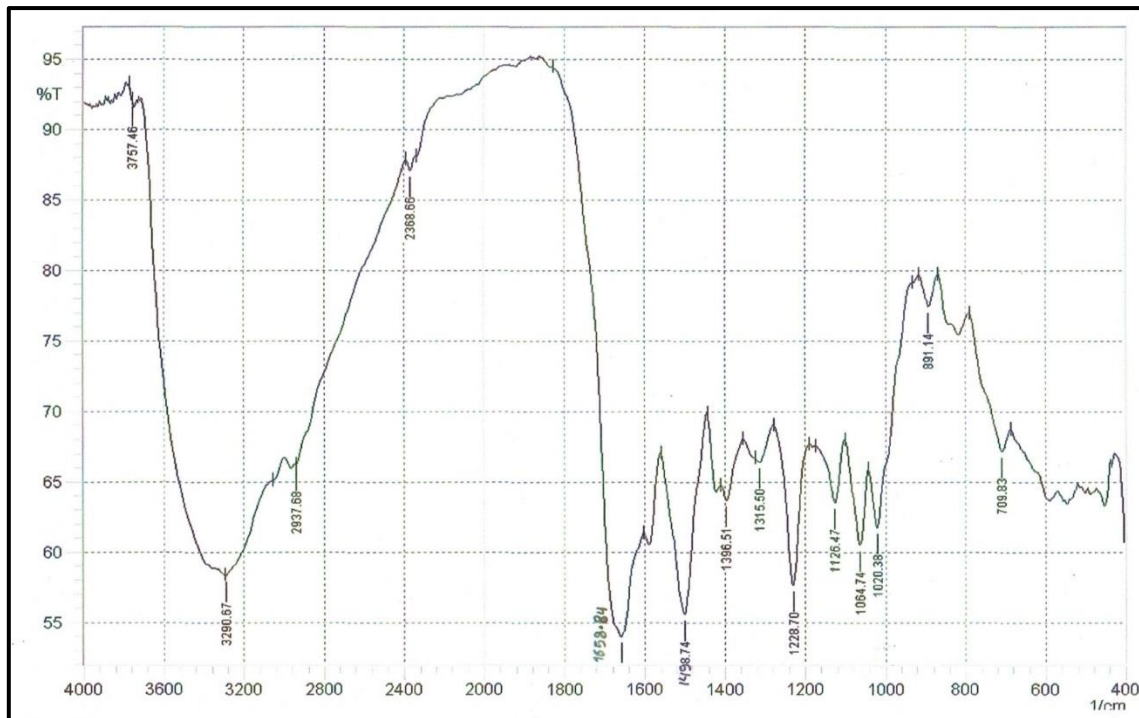
**ب- طيف الاشعة تحت الحمراء للمضاد فانكومايسين VAN-Free** أظهر المضاد الحر VAN-Free العديد من الحزم المميزة عند ترددات معينة اذ يتضح من الشكل 2 ان الحزمة عند التردد 3290 سـ<sup>-1</sup> تعزى الى اهتزاز المط لرابطة الهيدروكسيل (O-H) [17] . اما الحزمة عند التردد 2937 سـ<sup>-1</sup> فتعود الى اهتزاز المط لمجموعة (C-H) الاليفاتية ، بينما يلاحظ أن اهتزاز مط مجموعة (C-H) الاروماتية يكون متداخلاً مع اهتزاز مط رابطة الهيدروكسيل (O-H) . كما يلاحظ من الشكل نفسه ظهور حزمة عند التردد 1658 سـ<sup>-1</sup> والتي تشير الى اهتزاز المط لمجاميع الكاربونيل (C=O) الحامضية والأمادية . فيما يشير ظهور الحزمتين عند الترددتين (1589 و 1498 ) سـ<sup>-1</sup> الى اهتزاز المط هيكلي لحلقة البنزين (C-C) واخيراً تعود الحزمة عند التردد 891 سـ<sup>-1</sup> الى انحاء مجموعة (C-H) الاروماتية خارج المستوي [17].

#### **ج- طيف الاشعة تحت الحمراء للمضاد الناتوي الهجين ( Mg/Al-VAN-LDH )**

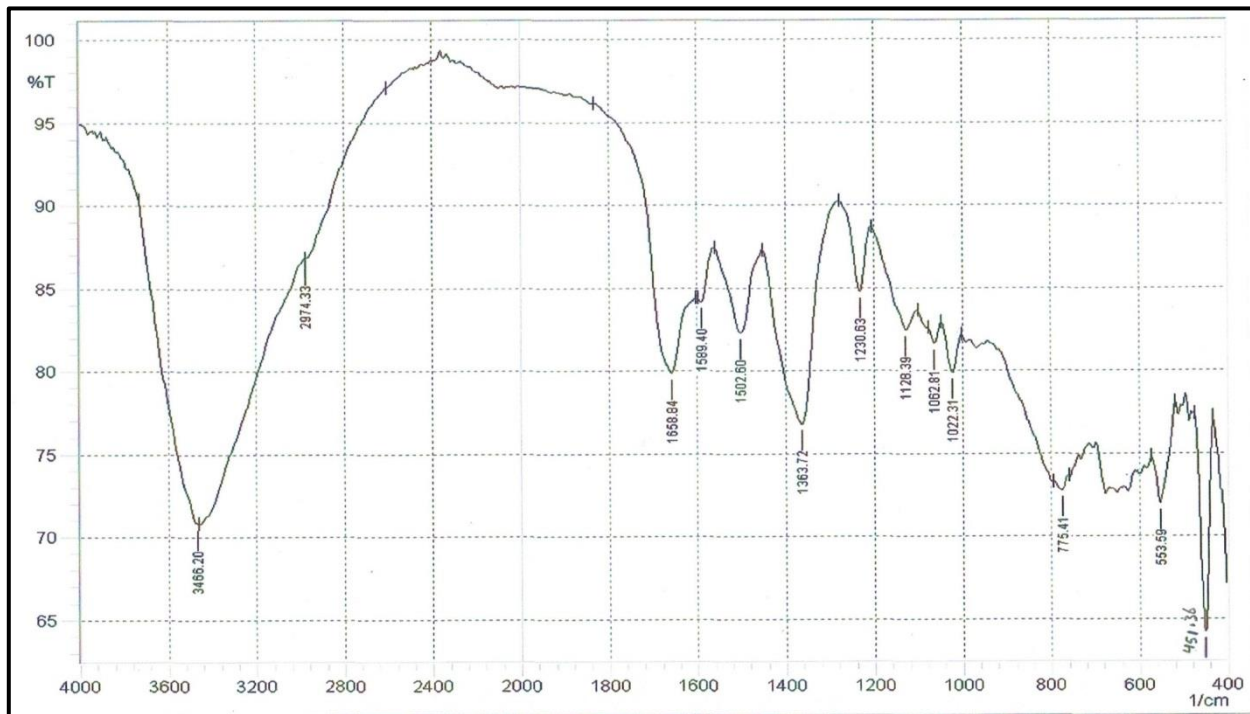
بعد تحمل المضاد فانكومايسين على طبقات ثنائية الهيدروكسيد اوضحت نتائج الفحص بمتباينة FT-IR (الشكل 3) حصول انزياح في ترددات بعض المجاميع الكيميائية ، إذ يلاحظ حصول انزياح لمط مجموعة OH العريضة نحو تردد أعلى ( ) 3466 سـ<sup>-1</sup> ، كما حصل انزياح لمط CH الاليفاتي نحو التردد الأعلى أيضاً ( 2974 ) سـ<sup>-1</sup> اما اهتزاز مط مجموعة (C-H) الاروماتية فيكون متداخلاً مع اهتزاز مط رابطة الهيدروكسيل (O-H). بينما يلاحظ عدم حصول أي انزياح لحزمة مجموعة الكاربونيل (C=O) الحامضية والأمادية إذ ظهرت عند نفس التردد (1656 ) سـ<sup>-1</sup> . بينما تعود الحزمتان عند الترددتين ( 1589 و 1502 ) سـ<sup>-1</sup> الى اهتزاز مط (C-C) حلقة البنزين فيما يلاحظ حصول انزياح لحزمة حني او اصر (C-H) الاروماتية خارج المستوي الى تردد اوطأ ( 775 ) سـ<sup>-1</sup> بعد أن كانت عند التردد (891 ) سـ<sup>-1</sup> في المضاد الحر [17] .



**الشكل 1 : طيف الأشعة تحت الحمراء لطبقات المغنتسيوم الالمنيوم ثنائية الهيدروكسيد**



الشكل 2 : طيف الأشعة تحت الحمراء للمضاد فانكومايسين الحر VAN free



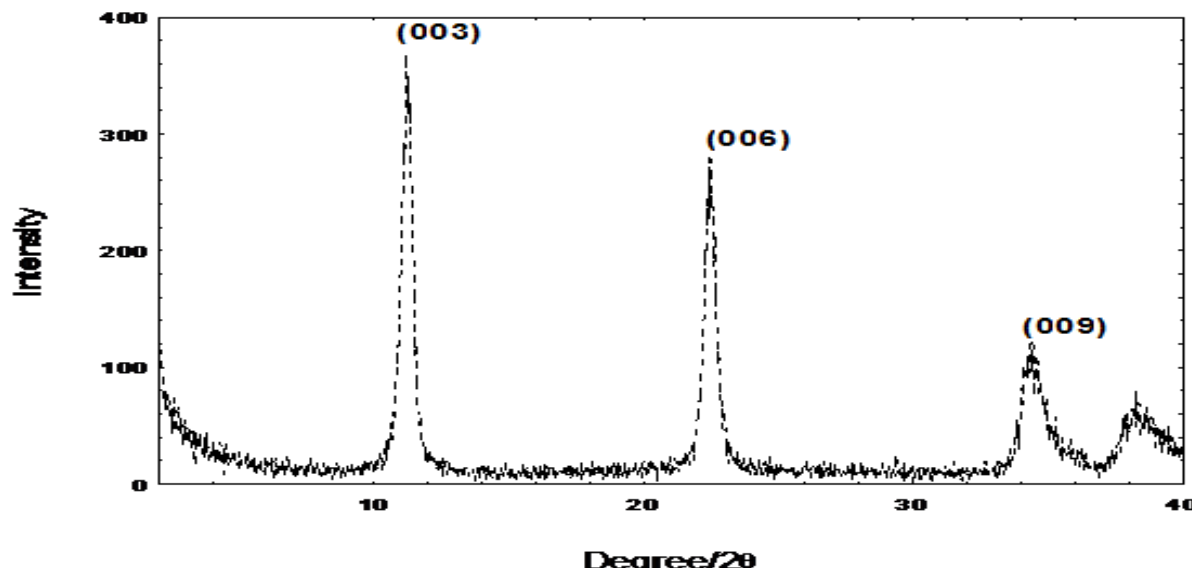
الشكل 3 : طيف الأشعة تحت الحمراء للمضاد النانوي Mg/Al - VAN - LDH

## 2- التشخيص باستخدام طيف حيود الأشعة السينية

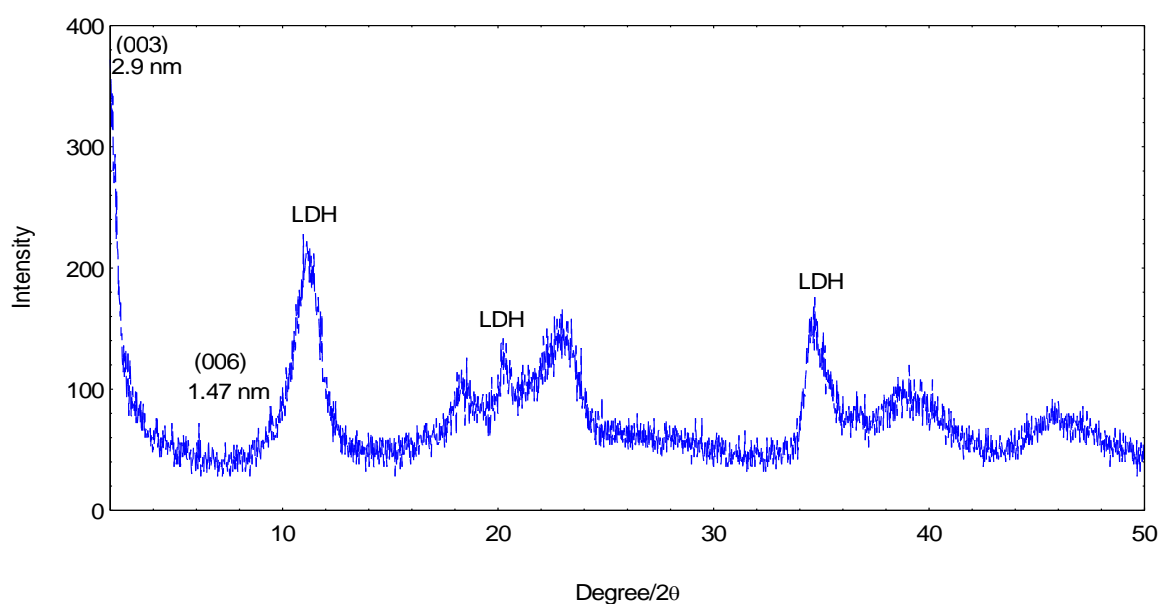
تم دراسة طيف حيود الأشعة السينية للحامض النانوي الهجين Mg/Al-VAN-LDH فضلاً عن طبقات ثنائية الهيدروكسيد (LDH) لمعرفة الاختلاف في سمك الطبقة قبل وبعد عملية إقحام المضاد فانكومايسين بين طبقات LDH .

يبين الشكل 4 طيف حيود الأشعة السينية لطبقة المغنيسيوم / الالمنيوم ثانية الهيدروكسيد ( Mg/Al-NO<sub>3</sub>-LDH ) تلاحظ المستويات البلورية (003) و (006) و (009) . فالمستوى (003) يظهر عند الزاوية 10.47° و بمسافة بلورية تساوي 0.84 nm اما المستوى (006) فيظهر عند الزاوية 22.03° و بمسافة بلورية تساوي 0.41 nm ، بينما يظهر المستوى (009) عند الزاوية 34.44° و بمسافة بلورية تساوي 0.26 nm . و من خلال ملاحظة طيف حيود الأشعة السينية للمضاد النانوي

الهجين Mg/Al-VAN-LDH في الشكل 5 يبدو أن عملية الأقحام قد تمت بنجاح إذ يظهر المستوى (003) عند الزاوية  $1.5^\circ$  تقريباً بمسافة بلورية مقدارها 2.9 nm بينما يظهر المستوى (006) عند الزاوية  $6^\circ$  بمسافة بلورية 1.47 nm فيما يبدو أن المستوى (009) يتداخل مع المستوى (003) لطبقة ثنائية الهيدروكسيد بالنظر لنقاربهما في الموقع مما تعذر فصلهما بشكل واضح جداً.

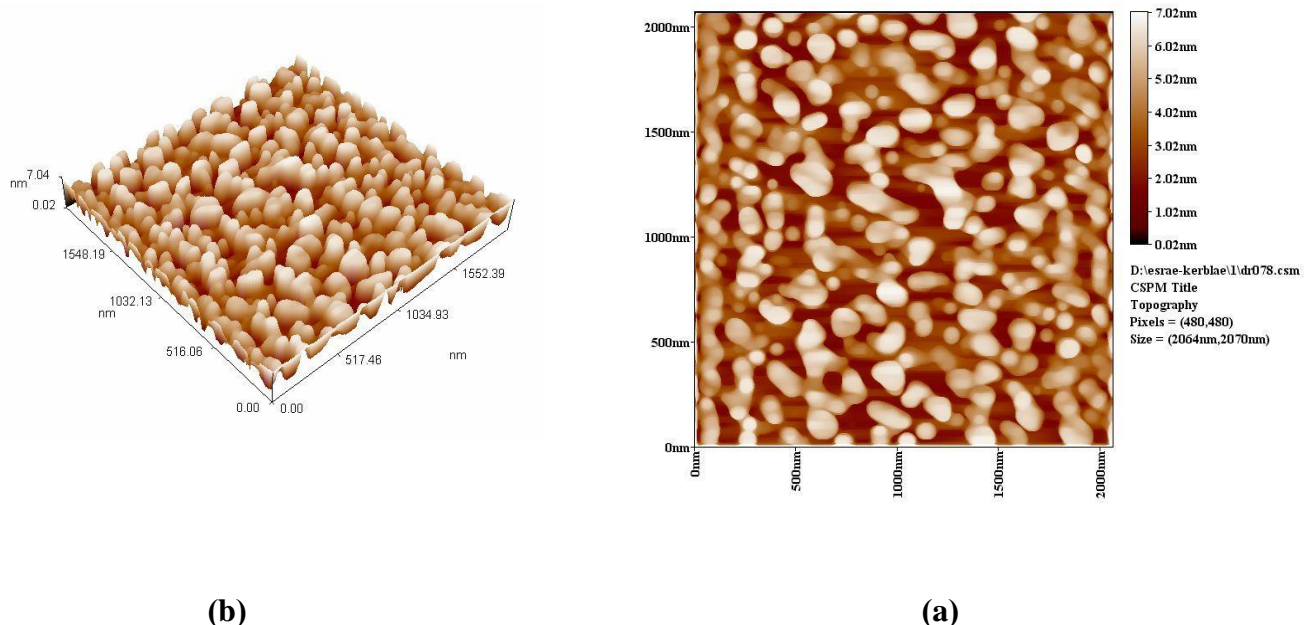


الشكل 4 : طيف حيود الأشعة السينية (XRD) لطبقة المغنيسيوم الألمنيوم ثنائية الهيدروكسيد ( $Mg/Al-NO_3$ -LDH)



الشكل 5 : طيف حيود الأشعة السينية (XRD) للفانكومايسين النانوي الهجين Mg/Al-VAN-LDH

3- الفحص بمجهر القوة الذرية (AFM)  
 تم دراسة السطح الخارجي للمضادين النانويين الهجينين قيد الدراسة و يبين الشكل 6a صورة ثنائية الأبعاد للمضاد Mg/Al-VAN-LDH تظهر فيها تجمعات دقائقية ذات أشكال شبه كروية .  
 كما يظهر الشكل 6b صورة ثلاثية الأبعاد لقطع من سطح المضاد النانوي الهجين و يلاحظ فيها ارتفاع التجمعات الدقائقية الذي يكون بحدود 7.04 نانومتر مما يشير الى تصنيع مضاد نانوي هجين من المضاد فانكومايسين الحر و طبقات ثنائية الهيدروكسيد .  
 ويتبين من الجدول 1 أن معدل أقطار دقائق ( Means of particles size ) للمضاد النانوي Mg/Al-VAN-LDH بلغ 85.81 نانومتر . وقد أدت عملية تحضير هذا المضاد الهجين الى الحصول على دقائق نانوية باقطار محسوبة بين ( 45- 100 ) نانومتر ، وأن أعلى نسبة لتلك الدقائق النانوية بلغت ( 12.06 و 12.06 ) % للدقائق ذات الأقطار ( 90 و 95 ) نانومتر ، على التوالي ، فيما بلغت أوطاً نسبة للدقائق ذات القطر 45 نانومتر .



الشكل 6 : صورة ثنائية الأبعاد (a) وثلاثية الأبعاد (b) للمضاد النانوي الهجين Mg|Al-VAN-LDH

الجدول 1 : أقطار وحجم و تجمعات دقائق المضاد النانوي الهجين Mg/Al -VAN -LDH بعد فحصه بمجهر القوة الذرية .  
 Avg. Diameter : 85.81 nm

Diameter( nm)<	Volume (%)	Cumulatio n(%)	Diameter( nm)<	Volume (%)	Cumulatio n(%)	Diameter( nm)<	Volume (%)	Cumulatio n(%)
45.00	1.01	1.01	75.00	4.52	28.14	105.00	7.54	83.92
50.00	2.51	3.52	80.00	7.54	35.68	110.00	5.03	88.94
55.00	2.01	5.53	85.00	9.55	45.23	115.00	4.52	93.47
60.00	5.53	11.06	90.00	12.06	57.29	120.00	4.02	97.49
65.00	4.52	15.58	95.00	12.06	69.35	125.00	2.51	100.00
70.00	8.04	23.62	100.00	7.04	76.38			

تنتفق نتائج الدراسة الحالية مع ما وجد [18] إذ أن معدل أقطار دقائق المضاد Octylgallate المحمول بين طبقات ثنائية الهيدروكسيد بلغ 82.49 نانومتر ، في حين لا تنتفق نتائج هذه الدراسة مع ما حصلت عليه [19] إذ أن معدل أقطار دقائق المضاد النانوي الهجين Oxytetracycline المحضر في تلك الدراسة بلغ 76.16 نانومتر .

**الفعالية التثبيطية للمضادات النانوية ضد بكتيريا *S. aureus* :**

**1- الفعالية التثبيطية ضد بكتيريا *S. aureus* المعزولة من الإدرار :**

يتضح من النتائج المبينة في الجدول 2 أن المضاد Vancomycin و بنوعيه الحر والناني بيدي أعلى فعالية تثبيطية ضد العزلة U-2 المعزولة من الإدرار بأقطار تثبيط مقدارها (18.5 و 19.75 و 16.25 و 13.75 و 10.75 و 9.5 و 8) ملم للمضادات VAN-Free و Mg/Al-VAN-LDH و VAN- Free، على التوالي و ذلك باستخدام التركيز 3 ملغم/مل.

و قد جاءت نتائج التحليل الإحصائي تأكيداً لهذه النتائج إذ كانت العزلة U-2 هي الأكثر حساسية للمضادات المدروسة بالنظر لأعطائها أعلى معدل تثبيط من بين عزلات بكتيريا *S. aureus* (Free) والمذكورة (Mg/Al-VAN-LDH) الذي بلغ 11.285 ملم.

كما أوضحت نتائج التحليل الإحصائي في الجدول 2 أيضاً أن هناك زيادة معنوية ( $P \geq 0.05$ ) في معدل التثبيط لكل عزلة بزيادة تركيز المضادات المستخدمة في هذه الدراسة.

ومن جهة أخرى ، فقد ظهر أدنى فعل تثبيطي للمضادات VAN-LDH و VAN-Free ضد العزلات U-3 و U-4 و U-3 ، على التوالي بأقطار تثبيط بلغت (13 و 16.25 و 19 و 23.5) ملم ، على التوالي أيضاً.

تشير الدراسات الكيموحيوية إلى أن مضادات Glycopeptides تثبّط المراحل الأخيرة من تصنيع البيبيديوكلايكان في جدار الخلية البكتيرية ، وعلى المستوى الجزيئي فإن الهدف الرئيسي للمضاد فانكومايسين هو النهاية D-ala-D-ala من مولدات ( precursors ) البيبيديوكلايكان لذا فإن هذا المضاد يقوم بتكوين معقد مع البيبيدي الثنائي D-ala-D-ala من خلال تشكيل خمس روابط هيدروجينية ، يعمل هذا المعقد بدوره على منع تفاعلات Transpeptidation بوساطة الإعاقبة الفراغية ( Steric hindrance ) [20] و [21] و [22] و [23].

**الجدول 2 : الفعالية التثبيطية للمضاد النانوي VAN-LDH ضد البكتيريا *Staphylococcus aureus* ضد المضاد الحر VAN Free .**

LSD <sub>0.05</sub> لتراكيز المضاد	تركيز المضاد(ملغم/مل)							العزلة البيكتيرية:	الناتج
	3	1	0.5	0.25	0.1	0.01	0.005		
قطر التثبيط بالملم									
0.674	18.5	16.25	13.75	12	8.5	0	0	2 -U	VAN- LDH
	13	11	10.75	8	7.5	4	0	3 -U	
	15	10.75	9.5	8	7	3.25	0	4- U	
	19.75	18.5	16.75	16	12.75	5.25	0	2 -U	VAN Free
	18	15.5	12.5	11.75	11	5.5	0	3 -U	
	16.25	13	12.25	10	8.25	4	0	4- U	
0.569								LSD <sub>0.05</sub> المضادات	
LSD <sub>0.05</sub> للعزلات		4 -U		3 -U		2 -U		العزلة	
0.441		8.375		9.178		11.285		معدل تثبيط العزلات	

إن دراسات تقييم الفعل التثبيطي للمضادات النانوية ضد بكتيريا *S. aureus* نوعاً قليلة ، ومن بينها وجد [24] أن التركيز المثبط الأدنى للمضاد Ciprofloxacin النانوي ضد بكتيريا *S. aureus* بلغ 20 مايكروغرام / مل .

**2- الفعالية التثبيطية ضد بكتيريا *S. aureus* المعزولة من الحروق والجروح :**

من خلال النتائج الموضحة في الجدول 3 يظهر أن عزلة بكتيريا *S. aureus* 1-W المعزولة من الجروح هي الأقل حساسية لمضادات Glycopeptides فقد بلغت أقطار تثبيط المضادات VAN-Free و VAN-LDH و ( 16 و 17 و 18 ) ملم ، على التوالي .

أظهرت نتائج التحليل الإحصائي للجدول 3 أن العزلة W-1 هي الأكثر حساسية للمضادات المدروسة إذ بلغ معدل تثبيط هذه العزلة 8.285 ملم ، في حين لم يلاحظ وجود فروقات معنوية ( $P \geq 0.05$ ) بين العزلتين 1-B و 2-B المعزولتين من الحروق .

**مجلة جامعة كربلاء العلمية – المجلد الخامس عشر- العدد الثالث / علمي / 2017**

الجدول 3 : الفعالية التثبيطية للمضادات النانوية VAN-LDH و المضاد الحر Free VAN ضد البكتيريا *Staphylococcus aureus* المعزولة من الحروق والجروح .

LSD <sub>0.05</sub> لتركيز المضاد	تركيز المضاد(ملغم/مل)							العزلة بالتباينية	المضاد
	3	1	0.5	0.25	0.1	0.01	0.005		
قطر التثبيط بالملم									
0.717	18.5	16.5	15	14.25	9.75	0	0	1-B	VAN- LDH
	15	13.5	12.5	9.5	8.25	0	0	2-B	
	16	11.75	11	8.5	5.75	0	0	1-W	
	23.5	20	18.5	16	13.5	7.5	0	1-B	VAN Free
	17.5	15.5	14.75	12.75	10	5	0	2-B	
	17	14.25	12.75	12.25	6.75	0	0	1-W	
0.606							LSD <sub>0.05</sub> للمضادات		

العزلةLSD <sub>0.05</sub>	1 -W	2 -B	1 -B	العزلة
معدل تثبيط العزلات	8.285	9.571	12.357	معدل تثبيط العزلات

و عند المقارنة الإحصائية يتضح أن هناك زيادة معنوية في معدل التثبيط لبعض العزلات بزيادة تراكيز المضادات في حين لم تكن الزيادة معنوية في معدل التثبيط للعزلات الأخرى المستخدمة في هذه الدراسة .  
أوضح [25] أن التراكيز المثبتة الدنيا للمضادات Gentamicin و Ciprofloxacin و Tetracycline و Vancomycin ضد بكتيريا *S. aureus* بلغت ( 6.25 و 3.25 و 1.56 ) ميكروغرام/مل للمضادات الثلاثة ، على التوالي .

3- الفعالية التثبيطية ضد بكتيريا *S. aureus* المعزولة من المهبل والأذن :  
يلاحظ من الجدول 4 أن عزلة بكتيريا 1-V *S. aureus* المعزولة من المهبل كانت الأقل تأثيراً بالفعل التثبيطي للمضاد بنوعيه الحر و النانوي الهجين إذ بلغ معدلا قطرى تثبيط المضادين VAN-Free و VAN-LDH ( 15.75 و 18.5 ) مل ، على التوالي .

الجدول 4 : الفعالية التثبيطية للمضادات النانوية VAN-LDH و المضاد الحر Free VAN ضد البكتيريا *Staphylococcus aureus* المعزولة من المهبل والأذن .

LSD <sub>0.05</sub> لتركيز المضاد	تركيز المضاد (ملغم/مل)							العزلة بالتباينية	المضاد
	3	1	0.5	0.25	0.1	0.01	0.005		
قطر التثبيط بالملم									
0.644	15.75	13.5	12.75	11	7	3	0	1-V	VAN- LDH
	21	15.5	15	12.5	11	5.5	0	2-V	
	18.5	16.5	14.25	13	9	0	0	1-E	
	18.5	17.25	16	14.5	12	7	0	1-V	VAN Free
	23.25	20.5	18	17	15	10.5	0	2-V	
	22.5	18.5	17.5	16.75	15	11	0	1-E	
0.544							LSD <sub>0.05</sub> للمضادات		

العزلةLSD <sub>0.05</sub>	1 -E	2 -V	1 -V	العزلة
معدل تثبيط العزلات	12.321	13.196	10.589	معدل تثبيط العزلات

## مجلة جامعة كريلاء العلمية – المجلد الخامس عشر- العدد الثالث / علمي / 2017

ومن ناحية التحليل الإحصائي بين الجدول 4 أن هناك زيادة معنوية ( $P \geq 0.05$ ) في معدل التثبيط لكل عزلة بزيادة تراكيز المضادات كما يتضح أيضاً أن العزلة V-2 المعزولة من المهيـل هي الأكثر تأثيراً بـفعـل التثـبـيـطـ لـكـلـ المـضـادـاتـ المـدـرـوـسـةـ وـبـفـرـوقـاتـ معـنـوـيـةـ ( $P \geq 0.05$ ) عن العـزلـتـيـنـ V-1ـ وـ E-1ـ إذـ بلـغـ مـعـدـلـ التـثـبـيـطـ لـالـعـزلـةـ V-2ـ (13.196ـ مـلـ)ـ .ـ فيـ درـاسـةـ قـامـ بهاـ [26]ـ إـتـضـحـ أـنـ الفـعـالـيـةـ التـثـبـيـطـيـةـ لـخـمـسـةـ مـسـتـهـضـرـاتـ مـنـ المـضـادـ G~e~n~t~a~m~i~c~i~nـ المـحـمـلـ عـلـىـ C~h~i~t~o~s~a~n~g~e~l~a~t~i~nـ ضـدـ بـكـتـرـيـاـ S~.~a~u~r~e~u~sـ تـرـاوـحـتـ بـيـنـ (31.22.9ـ مـلـ)ـ .ـ

### 4- الفعالية التثبيطية ضد بكتيريا *S. aureus* المعزولة من الدم :

تشير النتائج الموضحة في الجدول 5 إلى أن العزلة البكتيرية 3-S *S. aureus* المعزولة من الدم كانت الأقل تأثيراً بـفعـلـ المـضـادـ فـانـكـوـمـايـسـينـ بـنـوـعـيـهـ الـحرـ وـ الـنـانـوـيـ الـهـجـيـنـ بـقـطـرـيـ تـثـبـيـطـ بـلـغاـ (14ـ وـ 15.5ـ مـلـ)ـ لـلـمـضـادـiـnـ V~A~N~F~R~E~E~ و~ V~A~N~L~D~H~ عـلـىـ التـوـالـيـ .ـ

وـ بالـرجـوعـ إـلـىـ الـجـدـولـ ذـاتـهـ يـتـضـحـ مـنـ خـلـالـ الـمـقـارـنـةـ الـإـحـصـائـيـةـ وـ جـوـدـ زـيـادـةـ مـعـنـوـيـةـ ( $P \geq 0.05$ )ـ فيـ مـعـدـلـ تـثـبـيـطـ العـزلـاتـ بـزـيـادـةـ تـرـاكـيـزـ المـضـادـاتـ .ـ وـ عـلـىـ الرـغـمـ مـنـ وـجـودـ فـرـوـقـاتـ مـعـنـوـيـةـ بـيـنـ العـزلـتـيـنـ 3-Sـ وـ 2-Sـ إـلـاـ أـنـ هـاتـيـنـ العـزلـتـيـنـ كـانـتـاـ الـأـكـثـرـ تـحـسـسـاـ لـفـعـلـ الـمـضـادـاتـ المـدـرـوـسـةـ مـقـارـنـةـ بـالـعـزلـةـ 3-Sـ الـتـيـ بـلـغـ مـعـدـلـ تـثـبـيـطـهـاـ 8.839ـ مـلــ .ـ أـشـارـتـ أحـدـيـ الـدـرـاسـاتـ السـابـقـةـ إـلـىـ أـنـ هـنـاكـ فـعـلـ تـثـبـيـطـيـاـ ضـدـ كـلـ مـنـ بـكـتـرـيـاـ S~.~a~u~r~e~u~s~ و~ S~e~p~i~d~e~r~m~i~d~i~s~ بـوـسـاطـةـ الـمـضـادـ G~e~n~t~a~m~i~c~i~n~ الـمـحـمـلـ عـلـىـ P~L~G~A~ إـذـ تـرـاوـحـ مـقـدـارـ تـثـبـيـطـ بـيـنـ (32ـ 39ـ مـلـ)ـ .ـ [27]

**الجدول 5 : الفعالية التثبيطية للمضادات النانوية VAN-LDH والمضاد الحر VAN Free ضد البكتيريا *S. aureus* المعزولة من الدم .**

LSD <sub>0.05</sub> لتـركـيزـ المـضـادـ	تركيز المضاد (ملغم/مل)							العزلة البكتيرية	المضاد
	3	1	0.5	0.25	0.1	0.01	0.005		
قطر التثبيط بالملم									
0.484	16.7 5	14	12.5	11.5	9	0	0	1-S	VAN- LDH
	16.5	13.25	12	9.5	9	3.5	0	2-S	
	14	13.25	10.5	9	8	3.5	0	3-S	
	15.5	14.75	14	12.5	10.5	4.75	0	1-S	VAN Free
	19	14.5	13.75	12.25	10.5	6.5	0	2-S	
	15.5	13	11.75	11.25	9	5	0	3-S	
0.409							LSD <sub>0.05</sub> لـلـمـضـادـاتـ		

LSD <sub>0.05</sub> للـعـزلـاتـ	3 -S	2 -S	1 -S	الـعـزلـةـ
0.317	8.839	10.017	9.696	مـعـدـلـ تـثـبـيـطـ الـعـزلـاتـ

### 5- الفعالية التثبيطية ضد بكتيريا *S. aureus* المعزولة من الأنف :

عند التمعن في الجدول 6 يتضح أن عزلة بكتيريا 11-N *S. aureus* المعزولة من الأنف هي الأقل حساسية للمضاد Vancomycin بنوعيه الحر و النانوي الهجين بـقـطـرـيـ تـثـبـيـطـ (14ـ وـ 16.75ـ مـلـ)ـ لـلـمـضـادـiـnـ V~A~N~F~R~E~E~ و~ V~A~N~L~D~H~ عـلـىـ التـوـالـيـ .ـ

أثبتت نتائج التحليل الإحصائي في الجدول 6 أن العزلة N-68 هي الأكثر حساسية لـفعـلـ الـمـضـادـاتـ المـدـرـوـسـةـ بـمـعـدـلـ تـثـبـيـطـ 12.089ـ مـلـ ثـلـيـهـاـ العـزلـاتـ N-64ـ و~ N-11ـ و~ N-8ـ و~ N-73ـ و~ N-10ـ بـمـعـدـلـاتـ تـثـبـيـطـ (11.482ـ و~ 9.321ـ و~ 8.285ـ و~ 8.142ـ و~ 8.125ـ مـلـ ،ـ عـلـىـ التـوـالـيـ .ـ

يتـبـيـنـ مـنـ خـلـالـ الـدـرـاسـةـ الـتـيـ أـجـرـاهـاـ [28]ـ أـنـ المـضـادـ G~e~n~t~a~m~i~c~i~n~ الـمـحـمـلـ عـلـىـ g~e~l~a~t~i~n~a~l~g~i~n~a~t~e~ الـمـحـمـلـ كانـ فـعـلـاـ ضـدـ بـكـتـرـيـاـ S~.~a~u~r~e~u~sـ بـقـطـرـيـ تـثـبـيـطـ مـقـدـارـهـ 29ـ مـلــ .ـ

**مجلة جامعة كربلاء العلمية – المجلد الخامس عشر- العدد الثالث / علمي / 2017**

الجدول 6 : الفعالية التبيطية للمضادات النانوية VAN-LDH ضد البكتيريا *Staphylococcus aureus* المعزلة من الأنف.

LSD <sub>0.05</sub> لتركيز المضاد	تركيز المضاد(ملغم/مل)							العزلة البكتيرية	المضاد
	3	1	0.5	0.25	0.1	0.01	0.00 5		
	قطر التثبيط بالملم								
0.553	14	13	11.2 5	10	6.5	0	0	11-N	VAN- LDH
	18	15	12	9.25	8	2	0	10-N	
	14.5	11	9.75	7	6.5	3	0	8-N	
	19	15.7 5	14.5	12	11	0	0	68-N	
	18	14.5	13.7 5	10.5	9	0	0	64-N	
	15	12.7 5	11.5	9.5	8.5	0	0	73-N	
	16.7 5	15.5	15.2 5	13	9.75	5.5	0	11-N	VAN Free
	18	15.5	13.7 5	13	11.2 5	6	0	10-N	
	14.2 5	13	11.7 5	11.2 5	9.5	4	0	8-N	
	22	20.2 5	18.7 5	16	13	7	0	68-N	
	21.2 5	19.2 5	18.2 5	16	14.7 5	5.5	0	64-N	
	15.2 5	12.5	11.5	10.5	7	0	0	73-N	
0.468								LSD <sub>0.05</sub> المضادات	

LSD <sub>0.05</sub> للعزلات	73-N	64-N	68-N	8-N	10-N	11-N	العزلة
0.512	8.142	11.482	12.089	8.285	8.125	9.321	معدل تثبيط العزلات

نستنتج من هذه الدراسة كفاءة المضاد فانكومايسين بنوعيه الحر و النانوي المهيمن في تثبيط عزلات بكتيريا *S. aureus* المعزلة من الأنف . MRSA .  
الحساسة منها و المقاومة

**المصادر :**

- 1- Griffith , R.S.(1981). Introduction to vancomycin. Rev Infect Dis 3 (Suppl) : s200-4 d0i: 1093/clinids/3.Supplement. S200.
- 2- Robles-Piedras , A.L.; Gonz and lez-Lpez, E.H. (2009). Therapeutic Drug Monitoring of Vancomycin. Proc West Pharmacol Soc; 52:21-3.
- 3- Srinivasan , A.; Dick, J. D.and Perl, T. M. (2002). Clin. Microb. Reviews, 15, 430 .
- 4- Woodford , N.(2005). Clin. Microbiol. Infection, 11, 2. (cited from Vila et al., 2007) .
- 5- Menichetti , F.(2005). Clin. Microbiol. Infection, 11, 22. ( cited from Thati et al., 2010).
- 6- Rubinstein , E. and Keynan, Y.(2014) . Vancomycin revisited – 60 years later . Department of internal medicine . University of Minitoba . Winnipeg. MB, Canada .doi: 10.3389/fpubh.2014.00217.
- 7- Loveymi , B.D.; Jelvehgari, M.; Zakeri- Milani, P. and Valizadeh, H.(2012). Design of vancomycin RS-100 nanoparticles in order to increase the intestinal permeability. Advanced pharmaceutical Bulletin, 2(1), 43-56.
- 8- Liu , C.; Bayer, A.; Cosgrove, S.E.;Daum,R.S.;Fridkin, S.K.;Gorwitz, R.J.et al. (2011). Clinical practice guidelines by the infectious disease society of America for the treatment of methicillin- resistant *Staphylococcus aureus* infections in adults and children. Clin Infect Dis 52(3): el8-55.doi: 10. 1093/cid/ciq 146. (cited from Rubinstein and Keynan 2014).
- 9- Surendiran, A.; Sandhiya, S.; Pradhan, S.C. and Adithan, C.(2009). Novel applications of nanotechnology in medicine. Indian J Med Res.130:689-701.
- 10- Bashi , A.M.; Haddawi, S.M. and Mezaal, M.A. (2013). Layered Double Hydroxide Nanohybrid Intercalation with Folic Acid Used as Delivery System their Controlled Release Properties. Arab J Sci Eng . 38:1663-1680.
- 11- Egorove , N.S.(1985).Antibiotics ascientific approach. Mir Publishers, Moscow.
- 12- Al-Jubory, N.A and Al-Ghanimi, A.A.(2016). Isolation *Staphylococcus aureus* and Methicillin-resistant *Staphylococcus aureus* from patients in Sacred Kerbela governate and diagnosis in PCR technology (بحث مقبول للنشر)
- 13- Cheng , D.R. ; Zhu, S. Y. ; Yin, Z. H.; Ding,W.W.; Mu, Z.X. ; Su, Z.R. and Sun, H.C.(2010) . Prevalence of bacterial infection responsible for bovine mastitis.African Journal of Microbiology Research Vol.4(11)pp.1110-1116
- 14- Parida , K.M ; Sahoo, M. and Singha, S. (2010) . Synthesis and characterization of a Fe (III)- Schiff base complex in a Zn-Al LDH host for cyclohexane oxidation . Journal of Molecular Catalysis A : Chemical 329 : 7-12 .
- 15- Arizaga, G.G.C.; Gardolinski, J.E.F.d.C.; Schreiner, W.H.and Wypych, F. ( 2009) . Intercalation of an oxalatoxononiate complex into layered double hydroxide and layered zinc hydroxide nitrate. Journal of Colloid and Interface Science, 330:352–358.
- 16- Feng, Y.; Li, D.; Wang, Y.; Evans, D.G.and Duan, X. (2006) . Synthesis and characterization of a UV absorbent-intercalated Zn-Al layered double hydroxide. Polymer Degradation and Stability, 91:789–794.
- 17- Silverstein, R.M. ; Webster, F.X. and Kiemle, D.J.(2005). “Spectrometric Identification of organic compounds “ 7th Ed. John Wiley & Sons . INC. Printed in the United States of America .
- 18- الفلاوي ، صلاح هاشم شهيد ( 2014 ) . تهجين مركبات نانوية مع مادة أوكتيلكاليت الحافظة للأغذية ودراسة بعض فعالياتها الحيوية. رسالة ماجستير . كلية العلوم / جامعة كربلاء .
- 19- الحданى ، ميساء صالح مهدي ( 2015 ) . تحديد الكفاءة التثبيطية لمضادى الأوكسي تتراسايكلين والتايلوسين المحضرین نانویاً ضد البكتيريا المسببة لأنفصال الضرع في الأبقار في محافظة كربلاء المقدسة . رسالة ماجستير . كلية العلوم / جامعة كربلاء .
- 20- Arthur , M. ; Reynolds, P. and Courvalin, P. (1996) . Glycopeptide resistance in enterococci. Trends Microbiol 1996 Oct ; 4 (10): 401-7.
- 21- Loll , P.J. and Axelsen, P.H. (2000 ) .The structural biology of molecular recognition by vancomycin. Annu Rev Biophys Biomol Struct; 29: 265-89 .

- 22- Reynolds , P.E.(1989) . Structure, biochemistry and mechanism of action of glycopeptide antibiotics. Eur J Clin Microbiol Infect Dis Nov; 8 (11): 943-50 .
- 23- Williams , D.H. and Waltho, J.P. ( 1988 ) . Molecular basis of the activity of antibiotics of the vancomycin group. Biochem Pharmacol Jan 1; 37 (1): 133-41.
- 24- Patra , P. ; Mitra , S. ; Debnath , N.; Pramanik , P. and Goswami , A. (2014) . Ciprofloxacin conjugated zinc oxide nanoparticles : A camouflage towards multidrug resistant bacteria . Bull. Master. Sci. Vol. 37, No. 2, pp.199-206 .
- 25- Prathap , M. ; Noorjahan ,S.E.; Sastry , T.P. and Kumari , B.D. (2014) . In Vitro Release of Antibiotics from A Wound Dressing Material-Fiberogel . Asian Journal of Biochemical and Pharmaceutical Research . Issue 4(Vol. 4) .
- 26- Binddu , H. ; Vidyavathi , M. , Kavitha , K. and Sastry , T.P. (2011). Preraration and evalution of gentamicin loaded Chitosan – gelatin composite films for wound healing activity . International journal of applied Biology and Pharmaceutical Technology . ISSN 0976-4550 .
- 27- Posadowska , U. ; Brzychczy-Wloch , M. and Pamula , E. (2015) . Gentamicin loaded PLGA nanoparticles as local drug delivery system for the osteomyelitis treatment . Acta of Bioengineering and Biomechanics , Vol. 17, No. 3.
- 28- Princely , S. ; Basha , N.S. ; Nandhakumar , S. and Dhanaraju , M.D.(2015). Design and evaluation of controlled release gentamicin incorporated gelatin-alginate matrices for wound management . Des Pharmacia letter , 7(1) : 145-153 .